

# نتایج شبیه سازی عملکرد نیروگاه فتوولتاییک دانشگاه یزد و سنجش اعتبار آن با داده های تجربی ضمن ارائه راهکارهای افزایش راندمان

محمدعلی مهدیان<sup>۱</sup>، امیر صایمی<sup>۲</sup>، ولی کلانتر<sup>۳</sup>

تاریخ پذیرش مقاله:

۱۳۹۳/۴/۱۸

تاریخ دریافت مقاله:

۱۳۹۲/۱۰/۲۲

## چکیده:

در این تحقیق سعی شده است با محوریت انرژی خورشیدی بر روی شبیه سازی نیروگاه های فتوولتاییک کار شود. برای تاسیس یک نیروگاه فتوولتاییک، ابتدا باید از یک نرم افزار مطمئن برای برآورد هزینه و میزان تولید سالانه بهره جست. از نرم افزارهای مطرح در این زمینه، نرم افزارهای PVsyst و Sunny design هستند که قابلیت اطمینان آنها با مطالعه موردنی نیروگاه فتوولتاییک دانشگاه یزد و مقایسه با داده های تجربی اندازه گیری شده در محل نیروگاه، دنبال می گردد. داده های این نرم افزارها از اطلاعات جغرافیایی محل نیروگاه و مشخصات فنی سیستم های نصب شده در نیروگاه تامین گردیده است. پس از مرحله شبیه سازی، خروجی نرم افزارها شامل جداول و نمودارهایی هستند که روند تولید ساعتی، ماهانه و سالانه انرژی تولید شده از هر متر مربع پانل ها، راندمان سیستم، پراکندگی تولید انرژی، افت های سیستم و ... را نشان می دهند. در این مقاله، دو راه برای افزیش توان نیروگاه پیشنهاد می شود: یکی، قرار دادن سیستم در حالت ردیاب که افزایش قابل ملاحظه تولید انرژی از روی نتایج نرم افزار قابل رویت است و دیگری، تمیز کردن سطح سلول که با طراحی یک آزمایش بر روی پانل ها و مقایسه داده های تجربی تاثیرش دیده می شود. در آخر نیز اطلاعات خروجی این دو نرم افزار، با اطلاعات تجربی بدست آمده از خود نیروگاه مقایسه شده است.

## کلمات کلیدی:

انرژی، شبیه سازی، فتوولتاییک، نرم افزار، نیروگاه

## مقدمه

پیشرفت علم و فناوری رفاه عمومی را به ارمغان آورده است اما استفاده روزافون از سوخت‌های فسیلی سبب بروز آسیب‌های جدی به محیط زیست شده است. آلودگی هوا، افزایش گازهای گلخانه‌ای، تغییرات آب و هوایی و ... از معایب توسعه‌ی این سوخت‌ها هستند که بشر را بر آن داشت به فکر انرژی پاک، کارآمد و ارزان باشد. از میان تمام انرژی‌های پاک و ارزان، انرژی خورشیدی جایگاه ویژه ای دارد. از زمان‌های قدیم، انسان به فکر استفاده از خورشید به عنوان یک منبع تجدیدپذیر و ارزان در تمامی عرصه‌های زندگی و یا حتی جنگی بوده است. به طور مثال، ارشمیدس، دانشمند یونانی، با استفاده از بازتابش نور خورشید و متمرکز نمودن آن بر روی کشتی‌های نظامی، توانست آن‌ها را آتش بزند. در سال ۱۷۶۷ میلادی، دانشمندی سوئیسی اولین کلکتور خورشیدی را ساخت. در سال ۱۸۳۹ میلادی، ادموند بکرل موفق به کشف اثر فتوولتایک شد [۱]. سرانجام در سال ۱۹۵۴ اولین سلول خورشیدی در آزمایشگاه بل ساخته شد [۲]. در حال حاضر، از سلول‌های فتوولتایک می‌توان برای احداث مزارع سلول‌های خورشیدی برای تامین برق در مقیاس بالا بهره جست. ایران نیز کشوری است که با داشتن ۳۰۰ روز آفتابی در بیش از دو سوم آن در سال و میانگین تابش ۵/۴-۵/۴ کیلووات ساعت بر مترمربع در روز، یکی از کشورهای با پتانسیل بالای خورشیدی به شمار می‌رود [۳]. در همین راستا، در استان یزد به عنوان

یکی از استان‌های مستعد در این زمینه (با تابش  $\frac{Mj}{m^2}$ ) در سال ۱۳۹۰ هجری شمسی با تاسیس یک نیروگاه

فتوولتایک در دانشگاه یزد، استفاده از سلول‌های فتوولتایک در این استان کلید خورد. این نیروگاه با هدف توسعه کاربرد فناوری انرژی‌های تجدیدپذیر و ایجاد پایگاه داده برای تحلیل فنی و اقتصادی نیروگاه‌های فتوولتایک، تاسیس گردید. ظرفیت کل نیروگاه مذکور، ۲۰ کیلووات است که تمامی این ظرفیت به صورت متصل به شبکه اجرا شده است. نوع ماژول‌ها، پلی‌کریستال به ظرفیت ۲۴۰ وات و نوع اینورتر، یک عدد ۳ فاز به ظرفیت ۲۲ کیلووات می‌باشد. برای محقق شدن اهداف اجرای این پروژه، در این مقاله با استفاده از دو نرم‌افزار PVsyst و Sunnydesign، نیروگاه شبیه‌سازی گردیده است و میزان تولید واقعی نیروگاه با نتایج شبیه‌سازی با هم مقایسه شده‌اند.

مقالات مختلفی در این زمینه نگارش شده است از جمله در [۱] به مطالعه فنی امکان سنجی احداث نیروگاه فتوولتایک متصل به شبکه با ظرفیت ۱۰۰ کیلووات در تهران پرداخته است ویا در [۶] میزان تاثیر هر یک از آلودگی‌ها بر روحی راندمان یک سلول آزمایش شده است، اما ویژگی بارز این مقاله نسبت به موارد مشابه آن است که اعتبار داده‌های نظری به کمک داده‌های تجربی به دست آمده از دستگاه‌های اندازه گیر سنجیده شده و میزان خطا محاسبه شده است.

## شبیه‌سازی

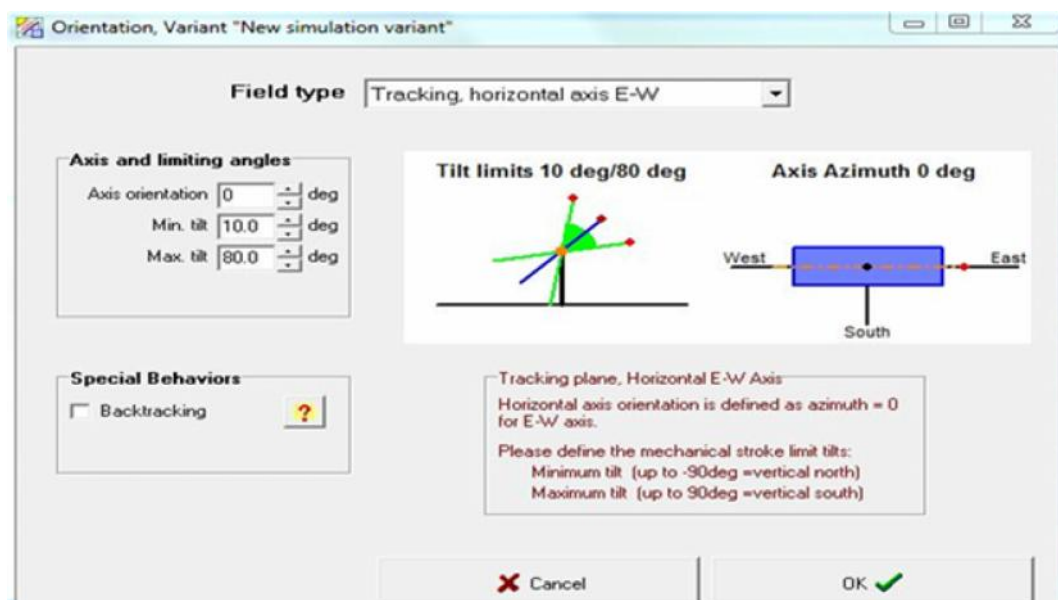
با اجرای نرم افزار PVsyst، اطلاعات آب و هوایی و تابش محل نیروگاه به وسیله یک فایل به برنامه وارد شد. پس از

شبیه‌سازی کامل نیروگاه در نتایج حاصل، مقدار انرژی تولیدی برای مدت کارکرد(۱۴ماه) این نیروگاه، حدود ۴۴/۸۵MWh گزارش شد. این در حالی است که دستگاه‌های اندازه‌گیر در محل نیروگاه، توان تولید شده در این مدت را ۴۴/۲۰۰MWh گزارش می‌دهند. درصد خطای این نرمافزار با داده‌های تجربی برابر است با:

$$\frac{44.85 - 44.200}{44.200} = 1.47\% \quad (1)$$

مشاهده می‌شود که خطا بسیار کم است و از این نرمافزار می‌توان با اطمینان برای مدل‌سازی‌ها استفاده کرد. از طرف دیگر، این مشاهده، تاییدی بر کارکرد بهینه نیروگاه دانشگاه یزد است.

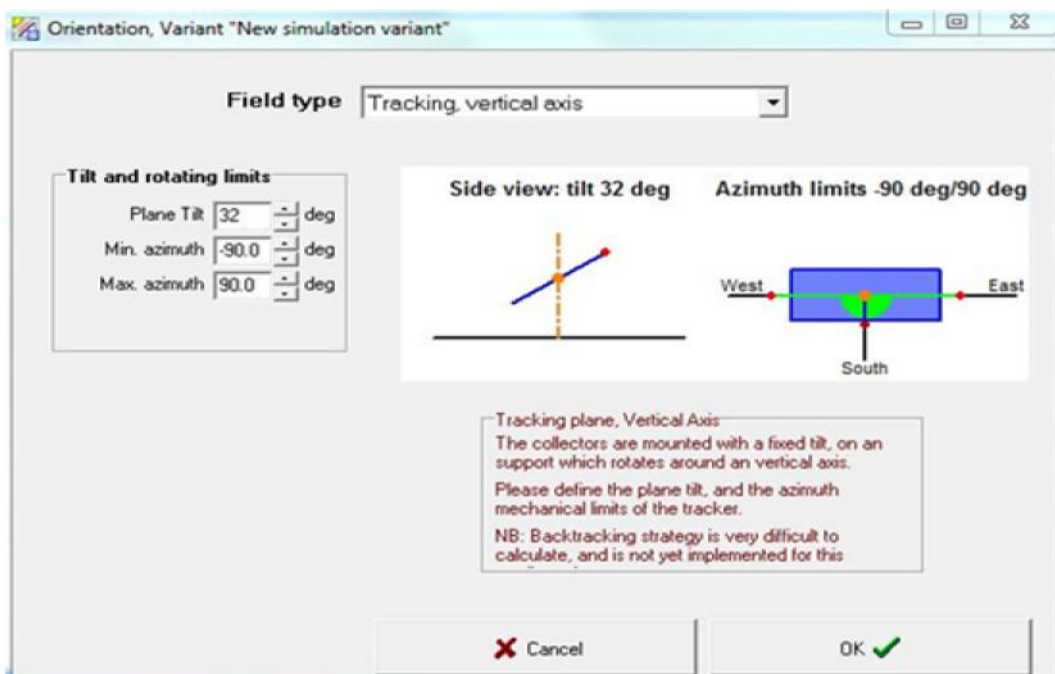
حال این سوال مطرح می‌گردد که آیا می‌توان در این نیروگاه راندمان و میزان تولید برق را افزایش داد؟ این نرمافزار قابلیت شبیه‌سازی سیستم‌های فتوولتایک در حالت ردیاب را نیز دارد. پس از شبیه‌سازی نیروگاه با ردیاب یک محوره افقی در جهت شرقی- غربی، KWh ۳۹۰۲۰ (شکل ۱ و جدول ۱) و با ردیاب یک محوره عمودی، KWh ۴۷۰۸۵ (شکل ۲ و جدول ۲) و با ردیاب دو محوره KWh ۵۱۲۲۶ (شکل ۳ و جدول ۳)، انرژی در یک سال حاصل می‌گردد که نسبت به حالت ثابت بودن پنل‌ها در یک زاویه خاص، افزایش توان قابل توجهی حاصل می‌شود.



شکل ۱) صفحه انتخاب ردیاب تک محوره افقی در جهت شرقی- غربی

جدول ۱) نتایج شبیه سازی ردیاب تک محوره افقی در جهت شرقی- غربی

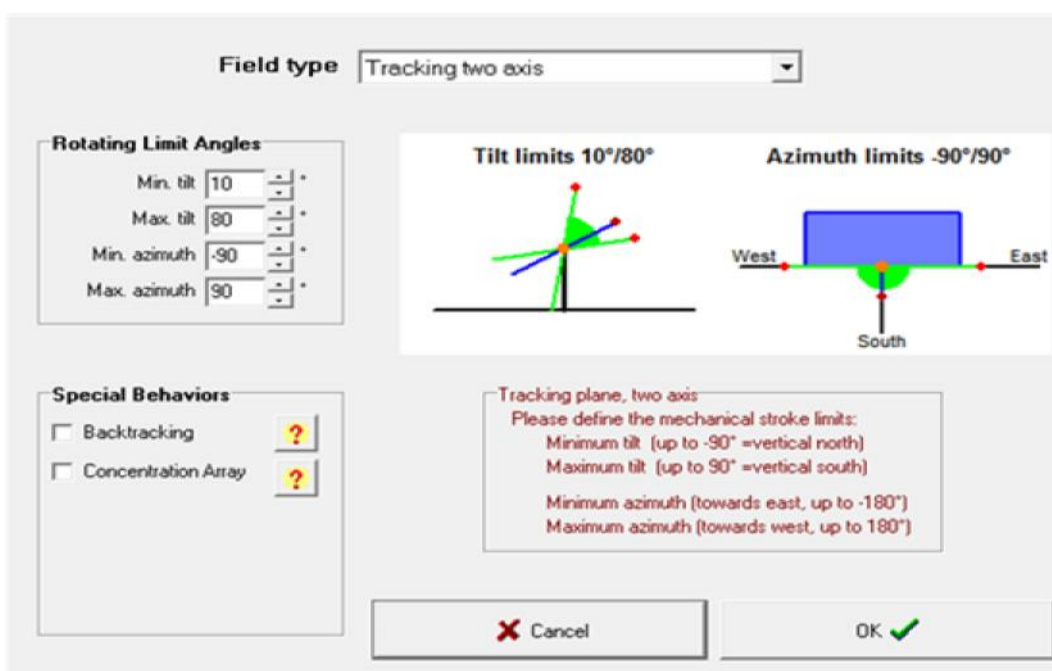
	GlobHor kWh/m <sup>2</sup>	T_Amb °C	GlobInc kWh/m <sup>2</sup>	GlobEff kWh/m <sup>2</sup>	E_Array kWh	E_Grid kWh	EffArrR %	EffSysR %
<b>January</b>	107.2	5.10	167.0	163.7	3097	3014	13.38	13.02
<b>February</b>	131.5	8.00	176.7	172.7	3220	3136	13.14	12.80
<b>March</b>	169.9	13.50	192.6	187.8	3432	3343	12.86	12.52
<b>April</b>	189.9	19.50	195.5	190.0	3375	3286	12.45	12.12
<b>May</b>	225.1	25.40	222.7	216.7	3710	3614	12.02	11.71
<b>June</b>	238.2	30.80	232.4	226.4	3710	3615	11.52	11.22
<b>July</b>	239.6	32.40	234.6	228.4	3737	3642	11.49	11.20
<b>August</b>	224.1	30.40	227.0	220.7	3661	3566	11.64	11.33
<b>September</b>	190.6	26.10	209.0	203.6	3472	3381	11.99	11.67
<b>October</b>	151.0	19.50	191.0	186.5	3318	3232	12.53	12.21
<b>November</b>	109.3	12.10	158.3	154.9	2820	2747	12.85	12.52
<b>December</b>	88.5	6.80	136.1	133.2	2511	2445	13.32	12.97
<b>Year</b>	2064.9	19.19	2343.1	2284.7	40064	39020	12.34	12.02



شکل ۲) صفحه انتخاب ردیاب یک محوره عمودی

جدول (۲) نتایج شبیه سازی با ردیاب یک محوره عمودی

	GlobHor kWh/m <sup>2</sup>	T_Amb °C	GlobInc kWh/m <sup>2</sup>	GlobEff kWh/m <sup>2</sup>	E_Array kWh	E_Grid kWh	EffArrR %	EffSysR %
<b>January</b>	107.2	5.10	173.7	170.6	3238	3151	13.45	13.09
<b>February</b>	131.5	8.00	200.5	197.2	3675	3578	13.23	12.88
<b>March</b>	169.9	13.50	231.5	227.8	4151	4041	12.94	12.60
<b>April</b>	189.9	19.50	244.4	240.5	4256	4145	12.56	12.23
<b>May</b>	225.1	25.40	285.1	280.8	4795	4670	12.14	11.82
<b>June</b>	238.2	30.80	297.2	293.0	4770	4645	11.58	11.28
<b>July</b>	239.6	32.40	302.1	297.7	4843	4717	11.57	11.27
<b>August</b>	224.1	30.40	292.4	288.2	4753	4630	11.73	11.42
<b>September</b>	190.6	26.10	262.5	258.8	4393	4277	12.08	11.76
<b>October</b>	151.0	19.50	220.8	217.2	3855	3754	12.60	12.27
<b>November</b>	109.3	12.10	170.4	167.3	3047	2968	12.91	12.57
<b>December</b>	88.5	6.80	139.0	136.3	2577	2509	13.37	13.02
<b>Year</b>	2064.9	19.19	2819.5	2775.4	48355	47085	12.37	12.05



شکل (۳) صفحه انتخاب ردیاب دو محوره

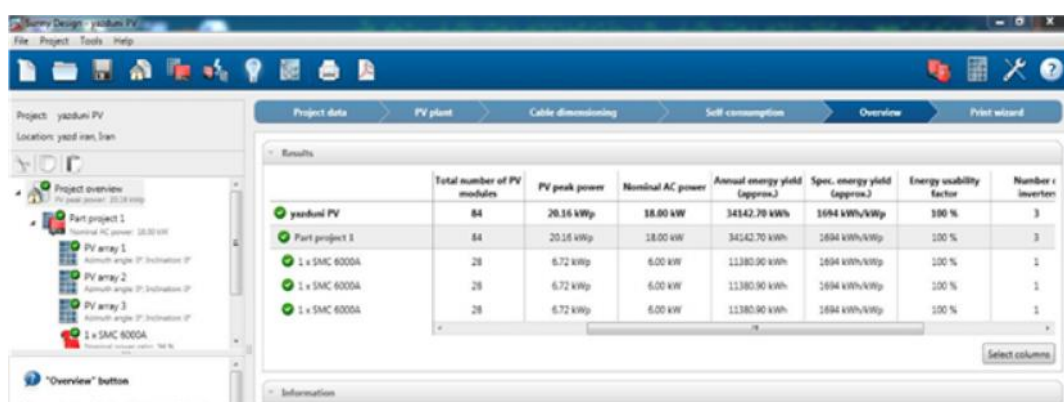
جدول (۳) نتایج شبیه سازی با ردیاب دو محوره

	GlobHor kWh/m <sup>2</sup>	T_Amb °C	GlobInc kWh/m <sup>2</sup>	GlobEff kWh/m <sup>2</sup>	EArray kWh	E_Grid kWh	EffArrR %	EffSysR %
<b>January</b>	107.2	5.10	197.5	195.3	3663	3562	13.38	13.01
<b>February</b>	131.5	8.00	223.0	220.5	4087	3978	13.22	12.87
<b>March</b>	169.9	13.50	247.5	244.5	4442	4323	12.95	12.60
<b>April</b>	189.9	19.50	261.2	257.8	4552	4431	12.57	12.24
<b>May</b>	225.1	25.40	307.4	304.0	5172	5035	12.14	11.82
<b>June</b>	238.2	30.80	319.8	316.4	5116	4981	11.54	11.24
<b>July</b>	239.6	32.40	325.6	322.1	5210	5072	11.54	11.24
<b>August</b>	224.1	30.40	315.8	312.4	5131	4996	11.72	11.41
<b>September</b>	190.6	26.10	283.6	280.7	4747	4620	12.07	11.75
<b>October</b>	151.0	19.50	241.5	238.7	4217	4105	12.60	12.26
<b>November</b>	109.3	12.10	190.8	188.5	3407	3316	12.88	12.54
<b>December</b>	88.5	6.80	156.2	154.2	2885	2808	13.33	12.97
<b>Year</b>	2064.9	19.19	3070.0	3035.2	52628	51226	12.37	12.04

در شبیه‌سازی دیگری که از این نیروگاه در نرم‌افزار Sunny design انجام گردید، مقدار ۳۴۱۴۲KWh برای تولید سالانه مشاهده گردید که میزان انحراف آن از حالت قابل قبول نرم‌افزار PVsyst برابر است با:

$$\frac{36539 - 34142}{34142} = 6.0\% \quad (2)$$

علیرغم سادگی نرم‌افزار Sunny design، از این نرم‌افزار فقط برای شبیه سازی نیروگاه‌های می‌توان استفاده کرد که اینورتر آنها ساخت شرکت SMA باشد. علاوه، امکانات محدودتری نسبت به نرم‌افزار PVsyst دارد.



شکل (۴) نتیجه شبیه سازی در sunny design

### تأثیر تمیزی سطح سلولها بر افزایش راندمان

نکته دیگری که شایان ذکر است و تاثیر زیادی در افزایش راندمان سلولها دارد، میزان تمیزی سطح پانل‌ها است. در یک روز آفتابی با طراحی یک آزمایش بر روی پنل‌های نیروگاه فتوولتاییک دانشگاه یزد به اهمیت تمیز بودن سلول‌های فتوولتاییک از گرد و غبار می‌توان پی برد. ظرفیت اسمی این نیروگاه ۲۰ کیلووات می‌باشد و دارای ۳ لاین (Line) است که هر لاین دارای ۲۸ پانل می‌باشد. توان تولیدی لحظه‌ای نیروگاه در یک روز آفتابی تابستان از هر لاین به صورت زیر می‌باشد:

$$L_1=4.89\text{Kw}, L_2=4.71\text{Kw}, L_3=4.71\text{Kw}$$

توان تولیدی لاین‌های ۲ و ۳ تقریباً یکسان است. سطح همه‌ی پانل‌ها را گرد و غبار پوشانده است. برای مشاهده میزان تاثیر تمیزی پانل‌ها، پانل‌های لاین ۲ تمیز گردید. بعد از تمیز شدن، توان تولیدی لحظه‌ای به صورت زیر مشاهده گردید:

$$L_1=4.87\text{Kw}, L_2=5.47\text{Kw}, L_3=4.71\text{Kw}$$

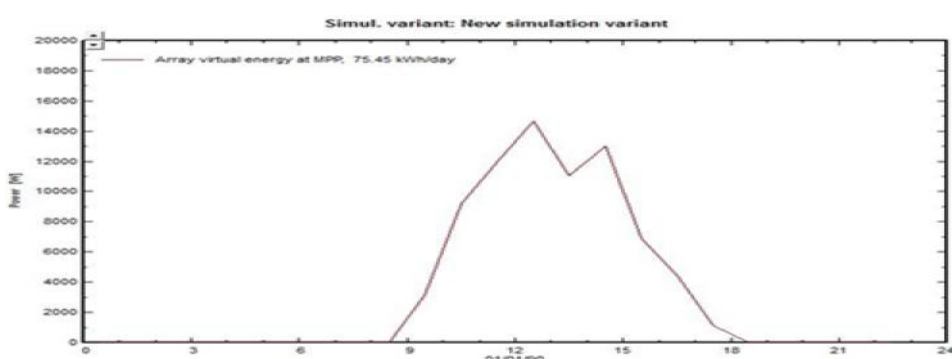
چون علاوه بر  $L_3$  در شرایط یکسان، توان تولیدی یکسانی دارند، درصد تاثیر تمیز بودن سطح پانل‌ها به صورت زیر است:

$$\frac{L_2 - L_3}{L_3} \times 100 = \frac{5.47 - 4.71}{4.71} \times 100 = 16.13\% \quad (3)$$

یعنی با تمیز کردن هر لاین تقریباً ۸۰۰ وات بر توان تولیدی افزوده می‌شود. پس به طور کلی می‌توان نتیجه گرفت با سلول‌های تمیز می‌توان توان نیروگاه را ۱۶ درصد افزایش داد که البته مقدار قابل توجهی خواهد بود. لازم به ذکر است که نوع ذرات (خاک قرمز، آهک، دوده و ...) هر کدام تاثیرات متفاوتی را بر میزان افت انرژی تولیدی سلولها می‌گذارند.<sup>[۵]</sup>

در زیر به چند مورد از نتایج شبیه‌سازی با نرم‌افزار PVsyst پرداخته می‌شود:

نمودار (۱) توان تزریق شده به شبکه در ساعت مختلف روز (Energy injected into grid) را نشان می‌دهد.



نمودار (۱) توان تولیدی ساعتی در یک روز خاص

حداکثر توانی که تولید می‌شود، طی یک بررسی سالانه، حدود ۱۸KW و در ساعت ۱۲ تا ۱۴ هر روز اتفاق می‌افتد. این مطلب از روی شکل (۸) نیز قابل استناد است . نمودار موجود در این شکل مربوط به یک روز خاص است و با نمودار گرفته شده از نرم افزار همخوانی دارد.

همچنین انرژی تزریق شده به شبکه، برای ماههای مختلف، طبق جدول (۴) ارائه می‌شود.

New simulation variant Energy use and User's needs	
	E_Grid kWh
January	2844
February	3081
March	3329
April	3106
May	3205
June	3003
July	3148
August	3299
September	3287
October	3167
November	2715
December	2356
Year	36539

جدول (۴) انرژی تزریق شده به شبکه، برای ماههای مختلف

از جدول شماره (۵) نتایج زیر قابل حصول است:

- راندمان سیستم، بین ۱۰/۳ تا ۱۲/۶ درصد تغییر می‌کند.
- بیشترین راندمان در ماههای دسامبر و ژانویه که به ترتیب مصادف با ماههای دی و بهمن می‌شوند، اتفاق می‌افتد.
- بیشترین راندمان در ماههایی که هوا سردتر است، اتفاق می‌افتد.

New simulation variant Balances and main results								
	GlobHor kWh/m2	T_Amb oC	GlobInc kWh/m2	GlobEff kWh/m2	EArray kWh	E_Grid kWh	EffArrR %	EffSysR %
January	107.2	5.10	162.3	158.3	2928	2844	13.01	12.64
February	131.5	8.00	181.0	176.4	3174	3081	12.65	12.28
March	169.9	13.50	198.9	193.7	3428	3329	12.44	12.08
April	189.5	19.50	191.5	185.8	3199	3106	12.05	11.70
May	225.1	25.40	205.5	198.9	3298	3205	11.58	11.25
June	238.2	30.80	206.3	199.4	3090	3003	10.81	10.50
July	239.6	32.40	212.4	205.8	3240	3148	11.00	10.69
August	224.1	30.40	217.1	210.8	3398	3299	11.29	10.96
September	190.6	26.10	212.4	206.6	3387	3287	11.50	11.16
October	151.0	19.50	194.2	189.4	3261	3167	12.12	11.77
November	109.3	12.10	160.1	156.1	2794	2715	12.59	12.23
December	88.5	6.80	135.0	131.5	2424	2356	12.96	12.59
Year	2064.6	19.19	2276.8	2212.7	37622	36539	11.92	11.58

جدول (۵) نتایج شبیه سازی ماهانه

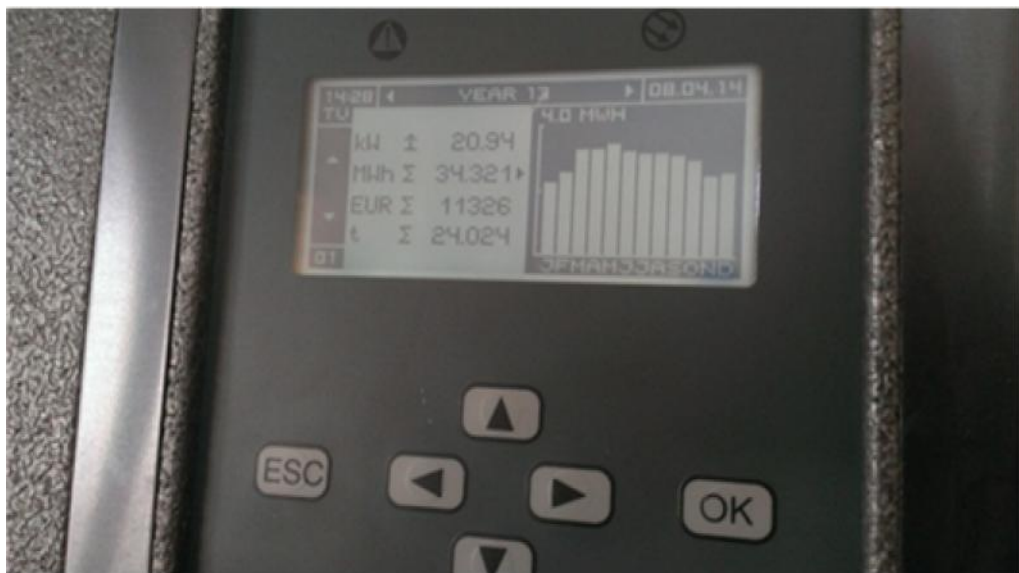
صحت این نتایج از روی عکس‌هایی که از سیستم مانیتورینگ دستگاه در محل نیروگاه گرفته شده قابل استناد است :



شکل ۵) نمای کلی نیروگاه دانشگاه یزد



شکل ۶) اینورتر سیستم مانیتورینگ نیروگاه دانشگاه یزد

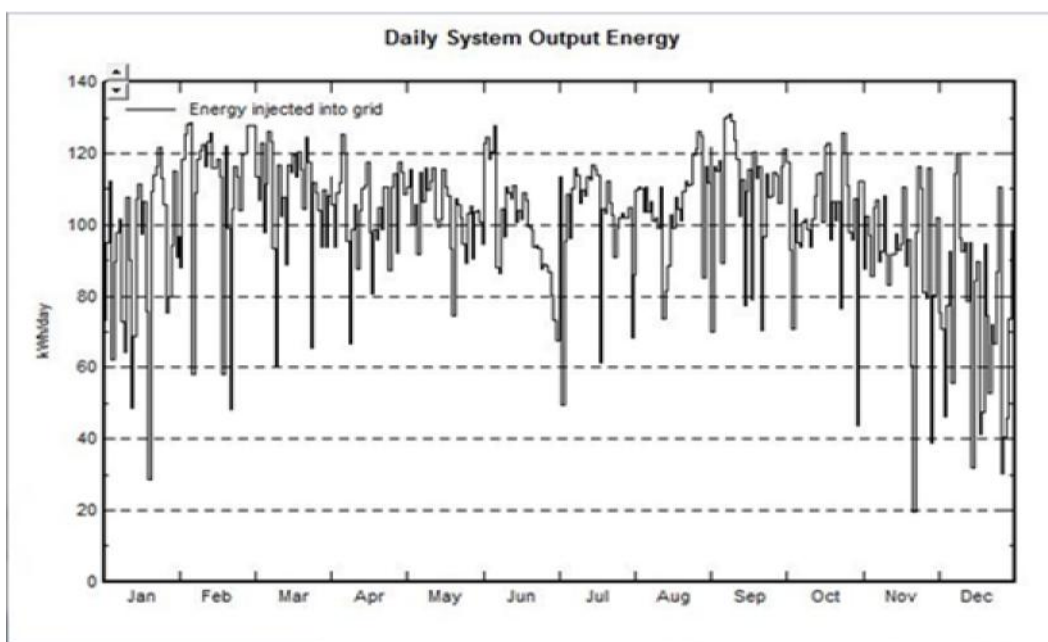


شکل ۷) نمودار سالانه توزیع توان به شبکه از محل نیروگاه دانشگاه بزد



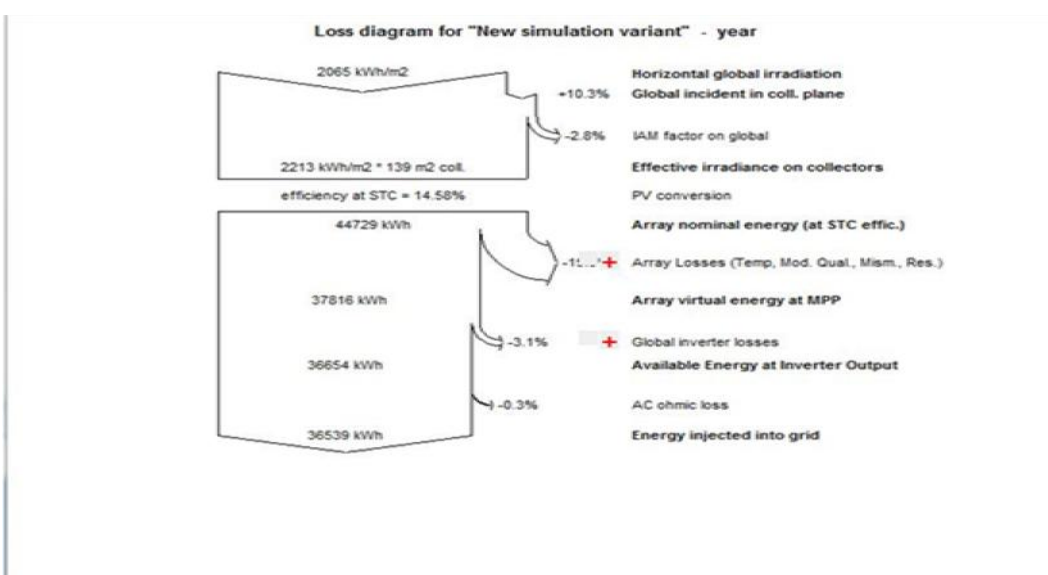
شکل ۸) نمودار روزانه توزیع توان به شبکه در یک روز خاص

طبق نمودار (۲)، کمترین نوسان انرژی خروجی در ماههای تیر و مرداد و شهریور اتفاق می‌افتد.

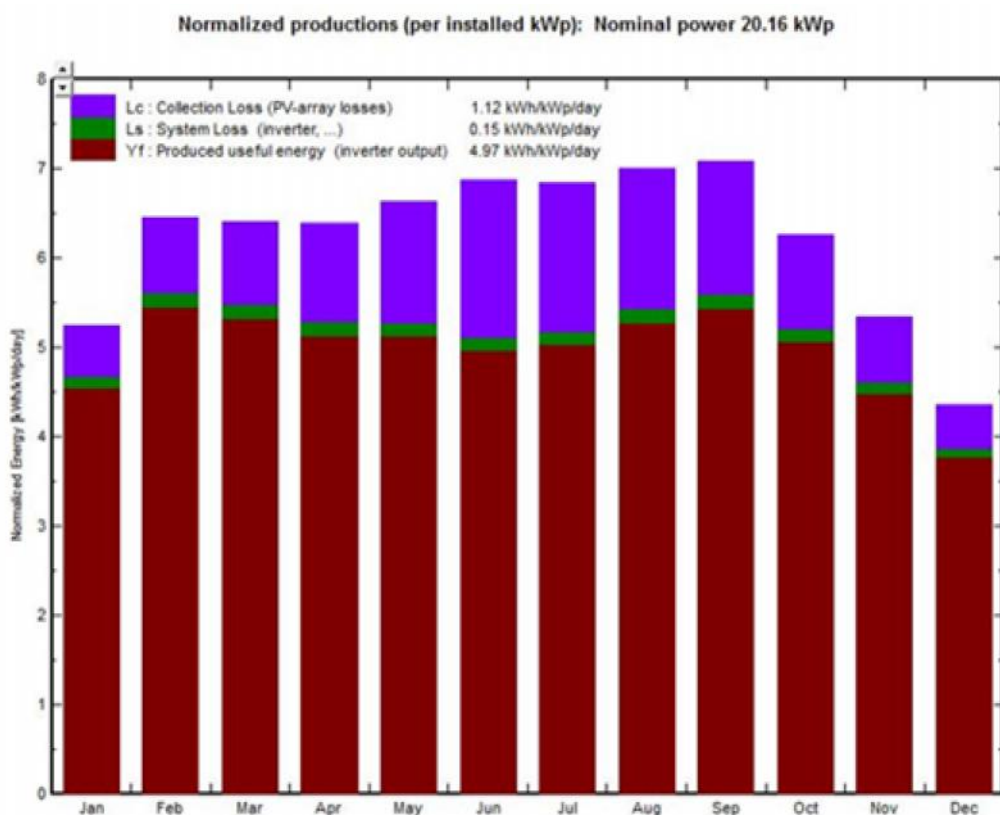


نمودار (۲) پراکندگی تولید انرژی در ماههای مختلف

مقداری از توان که توسط آرایه‌ها و اینورتر تلف می‌شود، در شکل (۵) و نمودار (۶) قابل مشاهده است. طبق این اشکال، توانی که توسط آرایه‌ها تلف می‌شود بیشتر از توانی است که توسط اینورتر و ... تلف می‌شود.



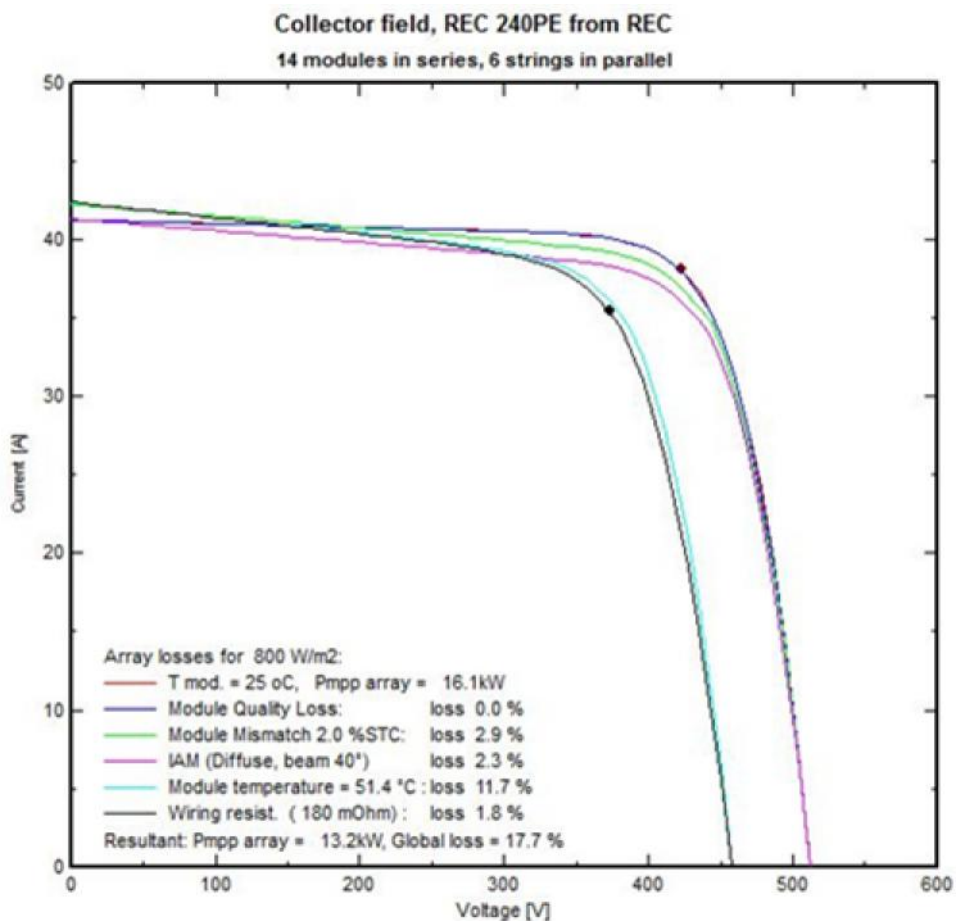
شکل (۶) دیاگرام توان تلف شده



نمودار (۳) توان تلف شده در ماههای مختلف

در نمودار (۳) افت اینورتر تقریباً در ماههای مختلف یکسان است اما افت آرایه ها در ماههای خرداد، تیر، مرداد و شهریور به علت گرمی هوا بیشترین مقدار است.

همچنین طبق نمودار (۴) می‌توان انحراف از حالت استاندارد را برای زمانی که دما، مقاومت الکتریکی، کیفیت سطح، جابجایی، افت خاک را در نظر بگیریم، مشاهده کرد. این نمودار بیشترین افت را بر اثر ورود به دماهای بالا نشان می‌دهد.



نمودار ۴) میزان انحراف از حالت استاندارد با در نظر گرفتن عوامل موثر

### نتیجه‌گیری

در این مقاله با مقایسه نتایج حاصل از شبیه سازی عملکرد نیروگاه به کمک نرم افزار PvSyst و در نظر گرفتن داده‌های تجربی مشاهده می‌شود که خطا بسیار کم است و از این نرم افزار می‌توان با اطمینان برای مدل‌سازی‌ها استفاده کرد. از طرف دیگر، این مشاهده، تاییدی بر کارکرد بهینه نیروگاه دانشگاه یزد است. همچنین از نتایج دیگر نرم افزار می‌توان به اهمیت نصب ردیاب بر روی پنل‌ها پی برد به طوری که با نصب ردیاب دو محوره توان نیروگاه حدود ۳۸ درصد افزایش خواهد یافت.

در مناطقی که در معرض آلودگی بیشتری قرار دارند(مانند مناطق کویری) تمیز نگه داشتن سطح سلولها افزایش توان قابل ملاحظه ای را سبب خواهد شد. برای همین منظور پیشنهاد می شود که در این مناطق از سلول هایی که از شیشه های ساخته شده باشند، استفاده شود تا راندمان سلولها به خاطر کشیدن سطح کاهش نیابد. Self-cleaning به طور کلی، در بحث پدافند غیرعامل استفاده از این سلولها می تواند ضامن وجود برق در موقع اضطراری شود، زیرا دشمن هر چیزی را که بتواند تحریم کند، تابش آفتاب را نمی تواند تحریم کند.

#### منابع

- [۱] شمس محمد حسین، کیا محسن، مهدوی بهداد، ۱۳۹۲، مطالعات طراحی بهینه یک نیروگاه فتوولتاییک ۱۰۰ کیلوواتی متصل به شبکه در تهران با استفاده از نرم افزار pvsyst، نشریه انرژی ایران، دوره ۱۶، شماره ۲.
- [۲] معینی سام، جوادی شهرام، دهقان منشادی محسن و اسماعیلی رضا، ۱۳۸۹، برآورد پتانسیل خورشیدی در شهر یزد، نشریه انرژی ایران، دوره ۱۳۵، شماره ۱.
- [۳] A.E. Becquerel, Comt. Rend. Acad. Sci. 9, 561, 1839.
- [۴] D.M. Chapin, C.S. Fuller, G.L. Pearson, J. Appl. Phys. 25, 676, 1954.
- [۵] <http://www.suna.org.ir/fa/sun/potential>
- [۶] Kaldellis, J. K., Fragos, P., & Kapsali, M. (2011). *Systematic experimental study of the pollution deposition impact on the energy yield of photovoltaic installations*. Renewable Energy, 36(10), 2717-2724.